

# 1 Cilindro com bordas aterradas e potencial na superfície lateral

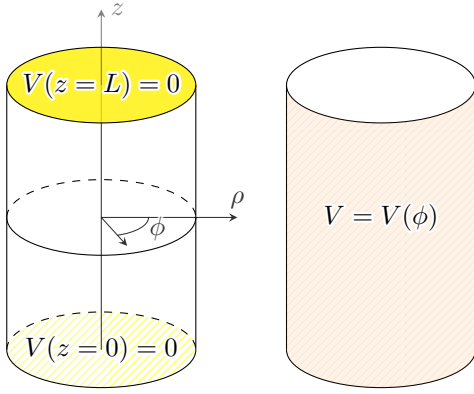


Figura 1: Cilindro a ser estudado. Tampas aterradas e lateral com potencial dependente de  $\phi$  fixo.

Vamos considerar um cilindro com as tampas aterradas e a borda submetida a um potencial  $V = V(\phi)$ . Nossas condições de contorno para este problema serão:

$$\begin{aligned} V(\rho, \phi, z) &= \begin{cases} V(\rho, \phi, z=0) = 0, & (1a) \\ V(\rho, \phi, z=L) = 0, & (1b) \\ V(\rho=R, \phi, z) = V(\phi). & (1c) \end{cases} \end{aligned}$$

A solução da equação diferencial de Laplace em coordenadas cilíndricas, por sua vez, é dada por

$$V(\rho, \phi, z) = \sum_{\nu=0}^{\infty} \sum_{\substack{k \neq 0 \\ k=-\infty}}^{\infty} (E_{\nu} J_{\nu}(k\rho) + F_{\nu} N_{\nu}(k\rho)) \times (C_{\nu} \cos \nu\phi + D_{\nu} \sin \nu\phi) (A_k e^{kz} + B_k e^{-kz}). \quad (2)$$

Para o potencial dentro do cilindro, nossa solução deve ser regular em todo ponto, inclusive em  $\rho = 0$ . A solução radial então não pode depender das funções de Neumann, visto que estas são irregulares na origem. Podemos, ao mesmo tempo, absorver a constante ( $E_{\nu}$ ) que acompanha a função de Bessel nas outras constantes de nossa solução. Temos então

$$V(\rho, \phi, z) = \sum_{\nu=0}^{\infty} \sum_{\substack{k \neq 0 \\ k=-\infty}}^{\infty} J_{\nu}(k\rho) (C_{\nu} \cos \nu\phi + D_{\nu} \sin \nu\phi) (A_k e^{kz} + B_k e^{-kz}). \quad (3)$$

Vamos utilizar a primeira condição de contorno, (1a), em nosso potencial:

$$V(\rho, \phi, 0) = \sum_{\nu=0}^{\infty} \sum_{\substack{k \neq 0 \\ k=-\infty}}^{\infty} J_{\nu}(k\rho) (C_{\nu} \cos \nu\phi + D_{\nu} \sin \nu\phi) (A_k + B_k) = 0. \quad (4)$$

Como a condição vale para todo valor de  $\rho$  e  $\phi$ , temos que  $A_k + B_k$  deve ser nulo,  $\forall k$ . Desta forma,  $B_k = -A_k$ , e a parte longitudinal da solução será

$$A_k e^{kz} + B_k e^{-kz} = A_k (e^{kz} - e^{-kz}) = 2A_k \frac{e^{kz} - e^{-kz}}{2} \propto A_k \sinh kz, \quad (5)$$

onde podemos unificar as constantes sem problema algum.

Nosso potencial se resume agora a

$$V(\rho, \phi, z) = \sum_{\nu=0}^{\infty} \sum_{\substack{k \neq 0 \\ k=-\infty}}^{\infty} J_{\nu}(k\rho) (C_{\nu} \cos \nu\phi + D_{\nu} \sin \nu\phi) A_k \sinh kz. \quad (6)$$

Na segunda condição, (1b):

$$V(\rho, \phi, L) = \sum_{\nu=0}^{\infty} \sum_{\substack{k \neq 0 \\ k=-\infty}}^{\infty} J_{\nu}(k\rho) (C_{\nu} \cos \nu\phi + D_{\nu} \sin \nu\phi) A_k \sinh kL = 0. \quad (7)$$

Para isto ocorrer, novamente, precisamos que  $\sinh kL$  seja nulo. Ora,

$$\sinh kL = \frac{e^{kL} - e^{-kL}}{2} = 0 \implies e^{kL} = e^{-kL}, \quad (8)$$

o que só é possível caso  $k$  seja puramente imaginário, visto que  $L \neq 0$  (verifique se quiser). Vamos então adotar  $k$  como real, e substituir  $k \rightarrow ik$ :

$$\sinh(ikL) = \frac{e^{ikL} - e^{-ikL}}{2} = i \sin kL = 0. \quad (9)$$

Desta forma,

$$\sin kL = 0, \quad (10)$$

o que implica em

$$kL = n\pi, \quad \forall n \in \mathbb{Z}, \quad \text{ou, } k = \frac{n\pi}{L}. \quad (11)$$

A soma em  $k$  em nossa soluo para o potencial pode ser substituída por uma soma em  $n$ , visto que ambos se relacionam pela condio (11). Temos assim ento

$$V(\rho, \phi, z) = \sum_{\nu=0}^{\infty} \sum_{\substack{n \neq 0 \\ n=-\infty}}^{\infty} J_{\nu} \left( i \frac{n\pi}{L} \rho \right) (C_{\nu} \cos \nu\phi + D_{\nu} \sin \nu\phi) A_n i \sin \left( \frac{n\pi}{L} z \right). \quad (12)$$

Se distribuirmos  $A_n$  dentro do parêntesis, iremos obter duas constantes que acompanham os senos e cossenos,  $A_k C_{\nu}$  e  $A_k D_{\nu}$ , que podem ser reescritas como

$$A_n C_{\nu} = A_{n\nu}, \quad (13)$$

$$A_n D_{\nu} = B_{n\nu}. \quad (14)$$

Além de que as funes de Bessel com argumento puramente imaginário e multiplicadas de  $i$  so representadas como

$$iJ_{\nu} \left( i \frac{n\pi}{L} \rho \right) = j_{\nu} \left( \frac{n\pi}{L} \rho \right), \quad (15)$$

onde  $j_{\nu}$  so denominadas as funes modificadas de Bessel.

Nosso potencial se encontra ento da forma

$$V(\rho, \phi, z) = \sum_{\nu=0}^{\infty} \sum_{\substack{n \neq 0 \\ n=-\infty}}^{\infty} j_{\nu} \left( \frac{n\pi}{L} \rho \right) (A_{n\nu} \cos \nu\phi + B_{n\nu} \sin \nu\phi) \sin \left( \frac{n\pi}{L} z \right). \quad (16)$$

Vamos analisar a última condio de contorno, (1c), sobre como fica nosso potencial nas bordas:

$$V(R, \phi, z) = \sum_{\nu=0}^{\infty} \sum_{\substack{n \neq 0 \\ n=-\infty}}^{\infty} j_{\nu} \left( \frac{n\pi}{L} R \right) (A_{n\nu} \cos \nu\phi + B_{n\nu} \sin \nu\phi) \sin \left( \frac{n\pi}{L} z \right) = V(\phi). \quad (17)$$

A fim de utilizar a ortogonalidade dos senos e cossenos, iremos multiplicar a soluo do potencial por  $\sin \left( \frac{n'\pi}{L} z \right)$  e  $\sin(\nu'\phi)$  e integrar em um perıodo de oscilao:

$$\begin{aligned} & \sum_{\nu=0}^{\infty} \sum_{\substack{n \neq 0 \\ n=-\infty}}^{\infty} \int_{-L}^L \int_{-\pi}^{\pi} A_{n\nu} j_{\nu} \left( \frac{n\pi}{L} R \right) \cos(\nu\phi) \sin \left( \frac{n\pi}{L} z \right) \sin(\nu'\phi) \sin \left( \frac{n'\pi}{L} z \right) d\phi dz + \\ & + \int_{-L}^L \int_{-\pi}^{\pi} B_{n\nu} j_{\nu} \left( \frac{n\pi}{L} R \right) \sin(\nu\phi) \sin \left( \frac{n\pi}{L} z \right) \sin(\nu'\phi) \sin \left( \frac{n'\pi}{L} z \right) d\phi dz = \\ & = \int_{-L}^L \int_{-\pi}^{\pi} V(\phi) \sin(\nu'\phi) \sin \left( \frac{n'\pi}{L} z \right) d\phi dz. \end{aligned} \quad (18)$$

É útil lembrar das relaes de integrais entre senos e cossenos num perıodo de oscilao:

$$\int_0^{2\pi} \sin(m\theta) \sin(m'\theta) d\theta = \pi \delta_{m,m'}, \quad \text{onde } m, m' \geq 1, \quad (19)$$

$$\int_0^{2\pi} \cos(m\theta) \sin(m'\theta) d\theta = 0. \quad (20)$$

Da segunda relao vemos de cara que a integral que acompanha  $A_{n\nu}$  é zero. Logo, o que nos resta é avaliar a integral que acompanha  $B_{n\nu}$ .

$$\begin{aligned} & \int_{-L}^L \int_{-\pi}^{\pi} B_{n\nu} j_{\nu} \left( \frac{n\pi}{L} R \right) \sin(\nu\phi) \sin \left( \frac{n\pi}{L} z \right) \sin(\nu'\phi) \sin \left( \frac{n'\pi}{L} z \right) d\phi dz = \\ & B_{n\nu} j_{\nu} \left( \frac{n\pi}{L} R \right) \int_{-\pi}^{\pi} \sin(\nu\phi) \sin(\nu'\phi) d\phi \int_{-L}^L \sin \left( \frac{n\pi}{L} z \right) \sin \left( \frac{n'\pi}{L} z \right) dz, \end{aligned} \quad (21)$$

onde a primeira integra será:

$$\int_{-\pi}^{\pi} \sin(\nu\phi) \sin(\nu'\phi) d\phi = \pi\delta_{\nu,\nu'}, \forall \nu, \nu' \neq 0, \quad (22)$$

verifique se quiser. E a segunda será

$$\int_{-L}^L \sin\left(\frac{n\pi}{L}z\right) \sin\left(\frac{n'\pi}{L}z\right) dz = \frac{L}{\pi} \int_{-\pi}^{\pi} \sin(nu) \sin(n'u) du = L\delta_{n,n'} \quad (23)$$

com a substituição  $\pi z/L = u$ . Retornando ao potencial original:

$$\begin{aligned} \sum_{\nu=0}^{\infty} \sum_{\substack{n \neq 0 \\ n=-\infty}}^{\infty} \int_{-L}^L \int_{-\pi}^{\pi} B_{n\nu} j_{\nu} \left(\frac{n\pi}{L}R\right) \sin(\nu\phi) \sin\left(\frac{n\pi}{L}z\right) \sin(\nu'\phi) \sin\left(\frac{n'\pi}{L}z\right) d\phi dz = \\ = \sum_{\nu=0}^{\infty} \sum_{\substack{n \neq 0 \\ n=-\infty}}^{\infty} B_{n\nu} j_{\nu} \left(\frac{n\pi}{L}R\right) \pi\delta_{\nu,\nu'} L\delta_{n,n'} = B_{n'\nu'} j_{\nu'} \left(\frac{n'\pi}{L}R\right) \pi L, \forall \nu' n' \neq 0, \end{aligned} \quad (24)$$

o que nos leva a

$$B_{n'\nu'} = \frac{1}{\pi L j_{\nu'} \left(\frac{n'\pi}{L}R\right)} \int_{-L}^L \int_{-\pi}^{\pi} V(\phi) \sin(\nu'\phi) \sin\left(\frac{n'\pi}{L}z\right) d\phi dz, \forall \nu', n' \geq 1. \quad (25)$$

Para  $n' = 0$  ou  $\nu' = 0$ , uma ou outra integral será nula, então  $B_{n'0}$  e  $B_{0\nu'}$  serão nulos para todo  $n'$  e  $\nu'$ , respectivamente. Para  $n'$  negativo, a integral inverte seu sinal, dada a paridade do seno. Ou seja,

$$B_{n'\nu'} = \frac{-1}{\pi L j_{\nu'} \left(\frac{n'\pi}{L}R\right)} \int_{-L}^L \int_{-\pi}^{\pi} V(\phi) \sin(\nu'\phi) \sin\left(\frac{n'\pi}{L}z\right) d\phi dz, \forall n' < 0, \nu' \neq 0. \quad (26)$$

Podemos multiplicar a expressão original do potencial por  $\cos(\nu'\phi)$  e integrar no período de oscilação, de tal forma que

$$\begin{aligned} \sum_{\nu=0}^{\infty} \sum_{\substack{n \neq 0 \\ n=-\infty}}^{\infty} \int_{-L}^L \int_{-\pi}^{\pi} A_{n\nu} j_{\nu} \left(\frac{n\pi}{L}R\right) \cos(\nu\phi) \sin\left(\frac{n\pi}{L}z\right) \cos(\nu'\phi) \sin\left(\frac{n'\pi}{L}z\right) d\phi dz + \\ + \int_{-L}^L \int_{-\pi}^{\pi} B_{n\nu} j_{\nu} \left(\frac{n\pi}{L}R\right) \sin(\nu\phi) \sin\left(\frac{n\pi}{L}z\right) \cos(\nu'\phi) \sin\left(\frac{n'\pi}{L}z\right) d\phi dz = \\ = \int_{-L}^L \int_{-\pi}^{\pi} V(\phi) \cos(\nu'\phi) \sin\left(\frac{n'\pi}{L}z\right) d\phi dz. \end{aligned} \quad (27)$$

As relações integrais são análogas às apresentadas anteriormente, de tal forma que temos

$$\int_0^{2\pi} \cos(m\theta) \cos(m'\theta) d\theta = \pi\delta_{m,m'}, \text{ onde } m, m' \neq 0, \quad (28)$$

$$\int_0^{2\pi} \cos(m\theta) \cos(m'\theta) d\theta = 2\pi, \text{ se } m, m' = 0, \quad (29)$$

$$\int_0^{2\pi} \cos(m\theta) \cos(m'\theta) d\theta = 0, \text{ se ou } m = 0 \text{ ou } m' = 0, \quad (30)$$

$$\int_0^{2\pi} \sin(m\theta) \cos(m'\theta) d\theta = 0. \quad (31)$$

De maneira análoga à anterior, para os  $B_{n'\nu'}$ , encontramos as relações para os  $A_{n'\nu'}$  como

$$A_{n'\nu'} = \frac{1}{\pi L j_{\nu'} \left(\frac{n'\pi}{L}R\right)} \int_{-L}^L \int_{-\pi}^{\pi} V(\phi) \cos(\nu'\phi) \sin\left(\frac{n'\pi}{L}z\right) d\phi dz, \forall \nu', n' \neq 0, \quad (32)$$

$$A_{00} = \frac{1}{2\pi L j_{\nu'} \left(\frac{n'\pi}{L}R\right)} \int_{-L}^L \int_{-\pi}^{\pi} V(\phi) \sin\left(\frac{n'\pi}{L}z\right) d\phi dz, \quad (33)$$

$$A_{0\nu'} = A_{n'0} = 0. \quad (34)$$

■

## 2 Aplicando a solução para um potencial bipolar

Vamos agora aplicar o resultado obtido anteriormente para encontrar o potencial causado por uma distribuição do potencial onde metade (em  $\phi$ ) do cilindro é mantida em  $V_0$  e metade do cilindro mantida a  $-V_0$ .

As tampas ainda serão mantidas aterradas, em potencial nulo.

Podemos definir matematicamente o potencial aplicado como

$$V(\rho, \phi, z) = \begin{cases} +V, & \text{se } -\pi \leq \phi < 0 \\ -V, & \text{se } 0 \leq \phi < \pi \end{cases} \quad (35)$$

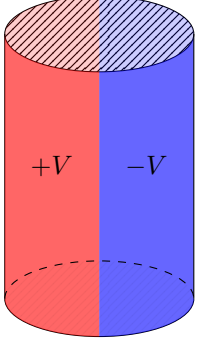
Para determinar os coeficientes da série do potencial, basta que calculemos as integrais

$$\int_{-\pi}^{\pi} V(\phi) \cos(\nu' \phi) d\phi = \int_{-\pi}^0 V \cos(\nu' \phi) d\phi - \int_0^{\pi} V \cos(\nu' \phi) d\phi, \quad (36)$$

$$\int_{-\pi}^{\pi} V(\phi) \sin(\nu' \phi) d\phi = \int_{-\pi}^0 V \sin(\nu' \phi) d\phi - \int_0^{\pi} V \sin(\nu' \phi) d\phi, \quad (37)$$

$$\int_{-L}^L \sin\left(\frac{n'\pi}{L}z\right) dz. \quad (38)$$

Figura 2: Diagrama do potencial imposto no cilindro



A primeira integral será ( $\nu \neq 0$ ):

$$\begin{aligned} \int_{-\pi}^0 V \cos(\nu' \phi) d\phi - \int_0^{\pi} V \cos(\nu' \phi) d\phi &= V \frac{1}{\nu'} \sin(\nu' \phi) \Big|_{-\pi}^0 - V \frac{1}{\nu'} \sin(\nu' \phi) \Big|_0^{\pi} \\ &= V \frac{1}{\nu'} \sin(\nu' \pi) - V \frac{1}{\nu'} \sin(\nu' \pi) \\ &= 0. \end{aligned} \quad (39)$$

A segunda ( $\nu \neq 0$ ):

$$\begin{aligned} \int_{-\pi}^0 V \sin(\nu' \phi) d\phi - \int_0^{\pi} V \sin(\nu' \phi) d\phi &= -V \frac{1}{\nu'} \cos(\nu' \phi) \Big|_{-\pi}^0 + V \frac{1}{\nu'} \cos(\nu' \phi) \Big|_0^{\pi} \\ &= V \frac{1}{\nu'} (\cos(\nu' \pi) - 1) + V \frac{1}{\nu'} (\cos(\nu' \pi) - 1) \\ &= \frac{2V}{\nu'} (\cos(\nu' \pi) - 1). \end{aligned} \quad (40)$$

Logo,

$$A_{n'\nu'} = 0, \quad (41)$$

$$B_{n'\nu'} = \frac{1}{\pi L j_{\nu'}\left(\frac{n'\pi}{L}R\right)} \left[ \frac{2V}{\nu'} (\cos(\nu' \pi) - 1) \right] \int_{-L}^L \sin\left(\frac{n'\pi}{L}z\right) dz, \quad \forall \nu', n' \geq 1. \quad (42)$$

## 3 Plano infinito aterrado com disco mantido a um potencial fixo

Vamos considerar agora um plano infinito aterrado, onde nele há um disco circular, centrado na origem, de raio  $a$ , e este círculo é mantido a um potencial constante,  $V$ .

As condições de contorno podem ser escritas matematicamente como

$$V(\rho, \phi, 0) = \begin{cases} V, & \text{se } \rho < a, \end{cases} \quad (43a)$$

$$0, \text{ caso contrário.} \quad (43b)$$

A solução para a equação de Laplace em coordenadas cilíndricas é

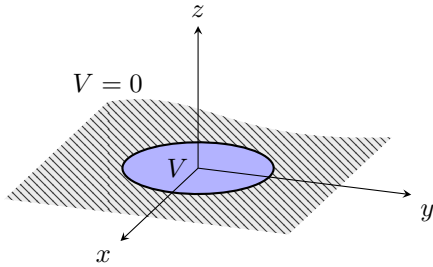


Figura 3: Diagrama das condições de contorno. Feio, mas ilustrativo.

$$\begin{aligned} V(\rho, \phi, z) &= \sum_{\nu=0}^{\infty} \sum_{\substack{k \neq 0 \\ k=-\infty}}^{\infty} (E_{\nu} J_{\nu}(k\rho) + F_{\nu} N_{\nu}(k\rho)) \times \\ &\quad \times (C_{\nu} \cos \nu \phi + D_{\nu} \sin \nu \phi) (A_k e^{kz} + B_k e^{-kz}). \end{aligned} \quad (44)$$

Como nosso potencial deve desaparecer para pontos muito longe do disco,  $A_k = 0$  se  $k > 0$ . Para  $k < 0$ , o mesmo acontece com  $B_k$ . Como a soma se estende até o infinito, é irrelevante impormos esta condição explicitamente, sendo igualmente equivalente utilizar  $A_k = 0, \forall k$ , e  $k > 0$ , apenas. Para que o potencial seja regular na origem,  $F_\nu = 0$ . Note também que para mantermos a simetria azimutal, é necessário restringirmos nosso valor de  $\nu$  para 0 apenas. Qualquer outro valor de  $\nu$  irá causar a aparição de termos dependentes de  $\phi$ , tornando o potencial variante ante uma transformação  $\phi \rightarrow \phi + \delta\phi$ . Assim, teremos

$$V(\rho, \phi, z) = \sum_{\substack{k \neq 0 \\ k=0}}^{\infty} B_k J_0(k\rho) e^{-kz}. \quad (45)$$

Como não temos restrições para um valor de  $k$ , vamos generalizar para o contínuo:

$$V(\rho, \phi, z) = \lim_{\beta \rightarrow 0} \int_{\beta}^{\infty} B(k) J_0(k\rho) e^{-kz} dk. \quad (46)$$

Sabemos que as funções de Bessel obedecem à condição

$$\int_0^{\infty} z J_n(kz) J_n(k'z) dz = \frac{1}{k} \delta(k - k'). \quad (47)$$

Multiplicando então a expressão para o potencial por  $\rho J_0(k'\rho)$  e integrando de 0 a  $\infty$  em  $\rho$ :

$$\int_0^{\infty} V(\rho, \phi, z) \rho J_0(k'\rho) d\rho = \lim_{\beta \rightarrow 0} \int_0^{\infty} \int_{\beta}^{\infty} B(k) J_0(k\rho) \rho J_0(k'\rho) e^{-kz} dk d\rho, \quad (48)$$

$$= \lim_{\beta \rightarrow 0} \int_{\beta}^{\infty} B(k) \left( \int_0^{\infty} J_0(k\rho) \rho J_0(k'\rho) d\rho \right) e^{-kz} dk, \quad (49)$$

$$= \lim_{\beta \rightarrow 0} \int_{\beta}^{\infty} B(k) \frac{1}{k} \delta(k - k') e^{-kz} dk, \quad (50)$$

$$= B(k') \frac{1}{k'} e^{-k'z}, k' > 0. \quad (51)$$

Temos então uma equação integral do tipo

$$k' e^{k'z} \int_0^{\infty} V(\rho, \phi, z) \rho J_0(k'\rho) d\rho = B(k'), k' > 0. \quad (52)$$

Vamos agora considerar o plano  $z = 0$  e aplicar nossas condições de contorno (**CORRIGIR ISTO, esqueci  $k'$** ):

$$B(k') = k' \int_0^{\infty} V(\rho, \phi, 0) \rho J_0(k'\rho) d\rho, k' > 0, \quad (53)$$

$$= k' \int_0^a V \rho J_0(k'\rho) d\rho, k' > 0, \quad (54)$$

$$= k' V \int_0^a \rho J_0(k'\rho) d\rho, k' > 0, \quad (55)$$

$$= k' V \int_0^a \rho \sum_{m=0}^{\infty} \frac{(-1)^m}{m! \Gamma(m+1)} \left( \frac{\rho}{2} \right)^{2m} d\rho, k' > 0, \quad (56)$$

$$= k' V \sum_{m=0}^{\infty} \frac{(-1)^m}{m! \Gamma(m+1)} \left( \frac{1}{2} \right)^{2m} \int_0^a \rho^{2m+1} d\rho, k' > 0, \quad (57)$$

$$= k' V \sum_{m=0}^{\infty} \frac{(-1)^m}{m! \Gamma(m+1)} \left( \frac{1}{2} \right)^{2m} \frac{a^{2m+2}}{2m+2}, k' > 0, \quad (58)$$

$$= k' V \sum_{m=0}^{\infty} \underbrace{\frac{(-1)^m}{m! (m+1) \Gamma(m+1)}}_{=\Gamma(m+2)} \left( \frac{1}{2} \right)^{2m+1} a^{2m+2}, k' > 0, \quad (59)$$

$$= k' V a \sum_{m=0}^{\infty} \frac{(-1)^m}{m! \Gamma(m+2)} \left( \frac{a}{2} \right)^{2m+1}, k' > 0, \quad (60)$$

$$= k' V a J_1(k'a). \quad (61)$$

**F i n a l m e n t e,**

$$V(\rho, \phi, z) = \lim_{\beta \rightarrow 0} \int_{\beta}^{\infty} V a J_1(ka) J_0(k\rho) e^{-kz} dk. \quad (62)$$

■

## 4 Cilindro com tampa inferior a potencial fixo e tampa superior e borda aterradas

Condições de contorno:

$$V(\rho, \phi, z) = \begin{cases} 0, & \text{se } \rho = R, \\ 0, & \text{se } z = L, \\ V, & \text{se } z = 0. \end{cases} \quad \begin{matrix} (63a) \\ (63b) \\ (63c) \end{matrix}$$

Equação de Laplace:

$$V(\rho, \phi, z) = \sum_{\nu=0}^{\infty} \sum_{\substack{k \neq 0 \\ k=-\infty}}^{\infty} (E_{\nu} J_{\nu}(k\rho) + F_{\nu} N_{\nu}(k\rho)) (C_{\nu} \cos \nu\phi + D_{\nu} \sin \nu\phi) (A_k e^{kz} + B_k e^{-kz}). \quad (64)$$

$F_{\nu} = 0$ , pois queremos o potencial dentro do cilindro, e  $\nu = 0$  é a única opção possível, dada a simetria azimutal. Assim:

$$V(\rho, \phi, z) = \sum_{\substack{k \neq 0 \\ k=-\infty}}^{\infty} J_0(k\rho) (A_k e^{kz} + B_k e^{-kz}). \quad (65)$$

Condição de contorno em  $z$ :

$$V(\rho, \phi, L) = \sum_{\substack{k \neq 0 \\ k=-\infty}}^{\infty} J_0(k\rho) (A_k e^{kL} + B_k e^{-kL}) = 0. \quad (66)$$

Pela ortogonalidade de  $J_0(k'\rho)$ ,

$$B_k = -A_k e^{2kL}. \quad (67)$$

Em  $z = 0$ ,

$$V(\rho, \phi, 0) = \sum_{\substack{k \neq 0 \\ k=-\infty}}^{\infty} A_k J_0(k\rho) (1 - e^{2kL}) = V. \quad (68)$$

Multiplicando por  $\rho J_0(k'\rho)$  e integrando para aproveitar a ortogonalidade:

$$\sum_{\substack{k \neq 0 \\ k=-\infty}}^{\infty} \int_0^{\infty} A_k J_0(k\rho) \rho J_0(k'\rho) (1 - e^{2kL}) d\rho = \int_0^{\infty} V \rho J_0(k'\rho) d\rho. \quad (69)$$

$$A_k \frac{1}{k} (1 - e^{2kL}) = V \int_0^{\infty} \rho J_0(k'\rho) d\rho. \quad (70)$$

## 5 Expansão em multipolos de distribuições discretas de carga

$$q_{lm} = \int Y_{lm}^*(\theta', \phi') r'^l \rho(\vec{x}') d^3 x'. \quad (71)$$

A distribuição de cargas é:

$$\rho(\vec{x}) = \frac{q}{a^2} \delta(r - a) \left( \delta(\phi) + \delta\left(\phi - \frac{\pi}{2}\right) - \delta(\phi - \pi) - \delta\left(\phi - \frac{3\pi}{2}\right) \right) \delta\left(\theta - \frac{\pi}{2}\right). \quad (72)$$

Logo,

$$q_{lm} = \int Y_{lm}^*(\theta', \phi') r'^l \rho(\vec{x}') d^3 x', \quad (73)$$

$$= \int_0^\pi \int_0^{2\pi} \int_0^\infty Y_{lm}^*(\theta', \phi') r'^l \rho(\vec{x}') r'^2 \sin \theta' dr' d\phi' d\theta', \quad (74)$$

$$= qa^l (Y_{lm}^*(\pi/2, 0) + Y_{lm}^*(\pi/2, \pi/2) - Y_{lm}^*(\pi/2, \pi) - Y_{lm}^*(\pi/2, 3\pi/2)). \quad (75)$$

A expansão do potencial para um dipolo, sabendo os momentos de dipolo<sup>1</sup>

$$\Phi(\vec{x}) = \frac{1}{4\pi\epsilon_0} \sum_{l,m} \frac{4\pi}{2l+1} q_{lm} \frac{Y_{lm}(\theta, \phi)}{r^{l+1}}, \quad (76)$$

e

$$Y_{lm}^* = (-1)^m Y_{l,-m}(\theta, \phi), \quad (77)$$

caso queira usar.

Para a outra distribuição de cargas, teremos uma densidade descrita por

$$\rho(\vec{x}) = q \left( -2 \frac{\delta(r)}{r^2 4\pi} \underbrace{\frac{\delta(\theta)}{\sin \theta}}_{\text{arbitrário}} + \frac{\delta(r-a)}{a^2 2\pi} \frac{(\delta(\theta) + \delta(\theta - \pi))}{\sin \theta} \right) \underbrace{\frac{\delta(\phi)}{2\pi}}_{\text{arbitrário}}. \quad (78)$$

Vale a pena reservar um tempo para comentar a minha indignação com este método de resolução. Aqui fazemos algo que eu não gosto muito, que é tentar driblar a “filtragem” dos deltas para valores onde o resultado seria originalmente nulo, como no caso de  $\delta(\theta)$ . Uma partícula pontual situada em cima do eixo  $z$  positivo terá este valor acompanhando sua densidade. Porém, em coordenadas esféricas, nosso jacobiano possui um termo multiplicativo de  $\sin \theta$ . Isto irá fazer com que o resultado seja nulo, pois integrar  $\delta(\theta) \sin \theta$  nos dará zero, já que  $\sin 0 = 0$ .

Para “driblar” este resultado, o que se faz é considerar  $\delta(\theta)/\sin \theta$ , o que, teoricamente, “removeria” o seno do nosso integrando, fazendo com que o resultado da integral seja um 1 multiplicativo, eliminando nossos problemas. Porém, isto é tão errado que eu nem sei como nomear algo do gênero, as camadas de erro neste feito são tão grandes que chamar isto de erro chega a ser um erro absurdo com a palavra erro. O delta de dirac “filtra” justamente o valor em  $\theta = 0$  do integrando. Porém, neste caso, ambas as funções  $\sin \theta$ , no numerador e no denominador, serão nulas, fazendo com que a divisão de uma pela outra seja **indefinida**. Remover o zero de nossa integração ou substituí-lo por um limite seria uma tentativa inútil, pois sem o 0 em nossa integração, não haveria o que o delta filtrar. Substituí-lo por um limite seria frívolo, visto que o limite da “função” delta de Dirac avaliada em **qualquer valor real** é zero. A mesma só irá divergir no exato ponto determinado pelo argumento.

O delta em  $\phi$  é outra arbitrariedade imensa, pois  $\phi$  ali pode ser avaliado em qualquer ponto, porém, este erro não chega a ser tão crasso quanto o anterior para  $\delta(r)$  e  $\delta(\theta)$ .

Fechando os olhos para estas **barbaridades**, teremos,

$$q_{lm} = \int Y_{lm}^*(\theta', \phi') r'^l \rho(\vec{x}') d^3 x', \quad (79)$$

$$= qa^l (Y_{lm}^*(0, 0) + Y_{lm}^*(\pi, 0)). \quad (80)$$

## 6 Dipolo pontual como uma representação alternativa de densidade de cargas

Vamos mostrar que a densidade de cargas

$$\rho_{\text{eff}}(\vec{x}) = -\vec{p} \cdot \nabla \delta(\vec{x} - \vec{x}_0) \quad (81)$$

pode ser uma representação para a densidade de cargas de um dipolo.

O potencial de uma distribuição de cargas é

$$\Phi(\vec{x}) = \frac{1}{4\pi\epsilon_0} \int \rho(\vec{x}') \frac{1}{|\vec{x} - \vec{x}'|} d^3 x'. \quad (82)$$

Substituindo a densidade nesta expressão, teremos

$$\Phi(\vec{x}) = \frac{-1}{4\pi\epsilon_0} \int \vec{p} \cdot \nabla \delta(\vec{x} - \vec{x}_0) \frac{1}{|\vec{x} - \vec{x}'|} d^3 x'$$

---

<sup>1</sup>Substitua se quiser.

$$\begin{aligned}
&= \frac{-1}{4\pi\epsilon_0} \int \vec{p} \cdot \nabla \delta(\vec{x} - \vec{x}_0) \frac{1}{|\vec{x} - \vec{x}'|} d^3x' \\
&= \frac{-1}{4\pi\epsilon_0} \vec{p} \cdot \int \nabla \delta(\vec{x} - \vec{x}_0) \frac{1}{|\vec{x} - \vec{x}'|} d^3x' \\
&= \frac{1}{4\pi\epsilon_0} \vec{p} \cdot \int \delta(\vec{x} - \vec{x}_0) \nabla \frac{1}{|\vec{x} - \vec{x}'|} d^3x' \text{ (integrando por partes)} \\
&= \frac{1}{4\pi\epsilon_0} \vec{p} \cdot \int \delta(\vec{x} - \vec{x}_0) \frac{(\vec{x} - \vec{x}')}{(\vec{x} - \vec{x}')^3} d^3x' \\
&= \frac{1}{4\pi\epsilon_0} \vec{p} \cdot \frac{(\vec{x} - \vec{x}_0)}{(\vec{x} - \vec{x}_0)^3} = \frac{1}{4\pi\epsilon_0} \vec{p} \cdot \frac{(\vec{x} - \vec{x}_0)}{|\vec{x} - \vec{x}_0|^3},
\end{aligned} \tag{83}$$

que é **justamente** o potencial do dipolo.

Vamos calcular agora a energia eletrostática

$$\begin{aligned}
W &= \int \rho(\vec{x}) \Phi(\vec{x}) d^3x \\
&= - \int \vec{p} \cdot \nabla \delta(\vec{x} - \vec{x}_0) \Phi(\vec{x}) d^3x \text{ (integrando por partes)} \\
&= \vec{p} \cdot \int \delta(\vec{x} - \vec{x}_0) \nabla \Phi(\vec{x}) d^3x \\
&= -\vec{p} \cdot \int \delta(\vec{x} - \vec{x}_0) \vec{E}(\vec{x}) d^3x \\
&= -\vec{p} \cdot \vec{E}(\vec{x}_0),
\end{aligned} \tag{84}$$

de acordo com o resultado esperado.

Terminamos de mostrar que, aparentemente, (81) é uma distribuição de cargas de um dipolo.

## 7 questão 5

## 8 Interação entre um quadrupolo e um campo elétrico

Vamos considerar um núcleo quadrupolar, com momento de quadrupolo  $Q$ , submetido a um campo elétrico com simetria cilíndrica, onde o gradiente do campo é  $(\partial E / \partial z)_0$ , ao longo do eixo  $z$ .

A energia de interação de quadrupolo é

$$W = -\frac{1}{6} Q_{ij} \left( \frac{\partial E_i}{\partial x_j} \right) \tag{86}$$

## 9 Expansão em multipolos de distribuição contínua de cargas

Considere a seguinte distribuição:

$$\rho(\vec{r}) = \frac{1}{64\pi} r^2 e^{-r} \sin^2 \theta. \tag{87}$$

Podemos substituir  $\sin^2 \theta$  por  $1 - \cos^2 \theta$ .  $P_0(\cos \theta) = 1$ , e  $P_2(\cos \theta) = (1/2)(3 \cos^2 \theta - 1)$ . Logo,  $\sin^2 \theta = (2/3)(P_0(\cos \theta) - P_2(\cos \theta))$ . Temos então que

$$\rho(\vec{r}) = \frac{1}{64\pi} r^2 e^{-r} \frac{2}{3} (P_0(\cos \theta) - P_2(\cos \theta)). \tag{88}$$

Como sabemos, os momentos de dipolo são definidos por

$$q_{lm} = \int Y_{lm}^*(\theta', \phi') r'^l \rho(\vec{x}') d^3x'. \tag{89}$$

Teremos então

$$q_{lm} = \int Y_{lm}^*(\theta', \phi') r'^l \frac{1}{64\pi} r'^2 e^{-r} \frac{2}{3} (P_0(\cos \theta') - P_2(\cos \theta')) d^3x' \tag{90}$$

$$= \int_0^{2\pi} \int_0^\pi \int_0^\infty Y_{lm}^*(\theta', \phi') r'^l \frac{1}{96\pi} r'^2 e^{-r} (P_0(\cos \theta') - P_2(\cos \theta')) r'^2 \sin \theta' dr' d\theta' d\phi' \tag{91}$$



$$= \frac{1}{96\pi} \int_0^{2\pi} \int_0^\pi Y_{lm}^*(\theta', \phi') (P_0(\cos \theta') - P_2(\cos \theta')) \int_0^\infty (r')^{l+4} e^{-r} dr' \sin \theta' d\theta' d\phi' \quad (92)$$

$$= \frac{1}{96\pi} \Gamma(l+5) \int_0^{2\pi} \int_0^\pi Y_{lm}^*(\theta', \phi') (P_0(\cos \theta') - P_2(\cos \theta')) \sin \theta' d\theta' d\phi', l > -5. \quad (93)$$

Como a simetria é azimutal, teremos que  $m$  deve ser zero, para termos momentos independentes de  $\phi$ . A relação entre os harmônicos esféricos e os polinômios de Legendre é

$$Y_{lm}(\theta, \phi) = \sqrt{\frac{(2l+1)(l-m)!}{4\pi(l+m)!}} P_l^m(\cos \theta) e^{im\phi}, \quad (94)$$

$$Y_{l0}(\theta, \phi) = \sqrt{\frac{(2l+1)}{4\pi}} P_l(\cos \theta). \quad (95)$$

Teremos então que

$$q_{l0} = \frac{1}{96\pi} \Gamma(l+5) 2\pi \int_0^\pi \sqrt{\frac{(2l+1)}{4\pi}} P_l(\cos \theta') (P_0(\cos \theta') - P_2(\cos \theta')) \sin \theta' d\theta', l > -5 \quad (96)$$

$$= \frac{1}{48} \Gamma(l+5) \sqrt{\frac{(2l+1)}{4\pi}} \left( \int_0^\pi P_l(\cos \theta') P_0(\cos \theta') \sin \theta' d\theta' - \int_0^\pi P_l(\cos \theta') P_2(\cos \theta') \sin \theta' d\theta' \right), l > -5 \quad (97)$$

$$= \frac{1}{48} \Gamma(l+5) \sqrt{\frac{(2l+1)}{4\pi}} \left( \frac{2}{2l+1} \delta_{l,0} - \frac{2}{2l+1} \delta_{l,2} \right), l > -5. \quad (98)$$

Logo, somente dois  $q_{l0}$  irão sobreviver,  $q_{00}$  e  $q_{20}$ :

$$q_{00} = \frac{1}{24} \Gamma(5) \sqrt{\frac{1}{4\pi}} = \sqrt{\frac{1}{4\pi}}, \quad (99)$$

$$q_{20} = -\frac{1}{120} \Gamma(7) \sqrt{\frac{5}{4\pi}} = -\sqrt{\frac{45}{\pi}}. \quad (100)$$

A expansão em multipolos do potencial será então

$$\Phi = \frac{1}{4\pi\epsilon_0} \sum_{l=-\infty}^{\infty} \frac{4\pi}{2l+1} q_{l0} \frac{Y_{lm}(\theta, \phi)}{r^{l+1}} \quad (101)$$

$$= \frac{1}{4\pi\epsilon_0} \sum_{l=-\infty}^{\infty} \sqrt{\frac{4\pi}{2l+1}} q_{l0} \frac{P_l(\cos \theta)}{r^{l+1}} \quad (102)$$

$$= \frac{1}{4\pi\epsilon_0} \left( \frac{1}{r} - 6 \frac{P_2(\cos \theta)}{r^3} \right) \quad (103)$$

$$= \frac{1}{4\pi\epsilon_0} \left( \frac{1}{r} - \frac{9 \cos^2 \theta - 3}{r^3} \right). \quad (104)$$

Para encontrar uma expansão do potencial próxima da origem, é necessário utilizar as funções de Green.

## 10 Casca cilíndrica imersa num dielétrico com vácuo entre as cascas

## 11 Distribuições discretas de carga sugeridas pelo Zezo

Avaliando as densidades das distribuições de carga fornecidas pelo zezo:

$$\rho_a(\vec{x}) = Q\delta(r-a)\delta\left(\theta - \frac{\pi}{2}\right) \left( -\delta(\phi) + \delta\left(\phi - \frac{\pi}{2}\right) + \delta(\phi - \pi) - \delta\left(\phi - \frac{3\pi}{2}\right) \right) \quad (105)$$

$$\rho_b(\vec{x}) = Q\delta(r-a)\delta\left(\theta - \frac{\pi}{2}\right) \left( \delta(\phi) + \delta\left(\phi - \frac{\pi}{2}\right) + \delta(\phi - \pi) + \delta\left(\phi - \frac{3\pi}{2}\right) \right) - \frac{4Q}{2\pi} \frac{\delta(r)}{r^2} \delta(\cos \theta) \quad (106)$$

$$\rho_c(\vec{x}) = \frac{Q}{2\pi} \frac{\delta(r)}{r^2} \delta(\cos \theta) - Q\delta(r-a)\delta\left(\theta - \frac{\pi}{2}\right) \left( \delta(\phi) + \delta\left(\phi - \frac{\pi}{2}\right) \right) \quad (107)$$

$$\rho_d(\vec{x}) = Q\delta(r-a) \left( \frac{\delta(\cos \theta - 1)}{2\pi} + \delta(\cos \theta) \left( \delta(\phi) + \delta\left(\frac{\pi}{2}\right) \right) \right) \quad (108)$$

## 12 Carga próxima a uma esfera dielétrica

Vamos considerar uma esfera dielétrica, com uma carga pontual próxima a sua superfície. Este problema é parecido com o problema da carga próxima à esfera condutora, onde se resolve por método das imagens. A diferença é que aqui é como se a carga imagem fosse “ofuscada”, com apenas uma fração da imagem associada a um espelho perfeito. Considere a carga pontual acima do eixo  $z$ , localizada no ponto  $r = a$ .

Para isto, consideremos a equação de Laplace em coordenadas esféricas com simetria azimutal

$$V(r, \theta) = \sum_{l=0}^{\infty} \left( A_l r^l + \frac{B_l}{r^{l+1}} \right) P_l(\cos \theta). \quad (109)$$

Vamos considerar primeiramente a solução para o potencial dentro da esfera. Neste caso, as constantes  $B_l$  devem ser todas nulas, pois o potencial deve ser finito na origem. Logo,

$$V_{\text{in}}(r, \theta) = \sum_{l=0}^{\infty} A_l r^l P_l(\cos \theta). \quad (110)$$

Por outro lado, fora da esfera, teremos

$$V_{\text{out}}(r, \theta) = \frac{1}{4\pi\epsilon_0} \frac{q}{|\vec{x} - a\hat{z}|} + V_0(r, \theta), \quad (111)$$

onde o potencial de uma carga pontual se apresentará junto de um potencial causado pela presença da esfera dielétrica. Vamos dar ao potencial  $V_0$  a forma de uma solução da equação de Laplace, visto que não temos outra fonte de carga.

$$V_0(r, \theta) = \sum_{l=0}^{\infty} \frac{B_l}{r^{l+1}} P_l(\cos \theta), \quad (112)$$

pois é necessário que o potencial desapareça quando nos afastemos suficientemente da esfera e da carga.

Podemos expandir o potencial de uma carga pontual em função de dos polinômios de Legendre, de acordo

uma expressão do **JACKSON**, que não lembro qual e necessito buscar o livro para olhar, perdendo o conforto do sofá. De qualquer forma,

$$\frac{1}{|\vec{x} - a\hat{z}|} = \sum_{l=0}^{\infty} \frac{r_{<}^l}{r_{>}^{l+1}} P_l(\cos \theta), \quad (113)$$

onde  $r_{>}$  é o maior entre  $r$  e  $a$ , e  $r_{<}$  é o menor entre  $r$  e  $a$ . Bom, nosso potencial geral será

$$V_{\text{out}}(r, \theta) = \frac{q}{4\pi\epsilon_0} \sum_{l=0}^{\infty} \frac{r_{<}^l}{r_{>}^{l+1}} P_l(\cos \theta) + \sum_{l=0}^{\infty} \frac{B_l}{r^{l+1}} P_l(\cos \theta) \quad (114)$$

$$= \frac{q}{4\pi\epsilon_0} \left( \sum_{l=0}^{\infty} \frac{r_{<}^l}{r_{>}^{l+1}} + \frac{B_l}{r^{l+1}} \right) P_l(\cos \theta), \quad (115)$$

incorporando a constante eletrostática nos  $B_l$ .

Vamos avaliar as condições de contorno. Como estas se dão na superfície, teremos que, obviamente, o  $r_{<}$  será  $r$ , e  $r_{>}$ , consequentemente, será  $a$ .

Vamos avaliar o campo elétrico tangente à superfície

$$E_{\text{in},\theta} = -\frac{1}{r} \frac{\partial V_{\text{in}}}{\partial \theta} \Big|_{r=R} = \sum_{l=0}^{\infty} A_l R^{l-1} \frac{dP_l(\cos \theta)}{d\theta} \sin \theta \quad (116)$$

$$E_{\text{out},\theta} = -\frac{1}{r} \frac{\partial V_{\text{out}}}{\partial \theta} \Big|_{r=R} = \frac{q}{4\pi\epsilon_0} \left( \sum_{l=0}^{\infty} \frac{R^{l-1}}{a^{l+1}} + \frac{B_l}{R^{l+2}} \right) \frac{dP_l(\cos \theta)}{d\theta} \sin \theta \quad (117)$$

Pela continuidade do campo paralelo à superfície,

$$E_{\text{in},\theta} = E_{\text{out},\theta} \quad (118)$$

$$\sum_{l=0}^{\infty} A_l R^{l-1} \frac{dP_l(\cos \theta)}{d\theta} \sin \theta = \frac{q}{4\pi\epsilon_0} \left( \sum_{l=0}^{\infty} \frac{R^{l-1}}{a^{l+1}} + \frac{B_l}{R^{l+2}} \right) \frac{dP_l(\cos \theta)}{d\theta} \sin \theta \quad (119)$$

$$A_l R^{l-1} = \frac{q}{4\pi\epsilon_0} \left( \frac{R^{l-1}}{a^{l+1}} + \frac{B_l}{R^{l+2}} \right) \quad (120)$$

$$A_l = \frac{q}{4\pi\epsilon_0} \left( \frac{1}{a^{l+1}} + \frac{B_l}{R^{2l+1}} \right). \quad (121)$$

Avaliando agora o deslocamento elétrico perpendicular à superfície, teremos

$$D_{\text{in},r} = -\epsilon \left. \frac{\partial V_{\text{in}}}{\partial r} \right|_{r=R} = -\epsilon \sum_{l=0}^{\infty} l A_l R^{l-1} P_l(\cos \theta) \quad (122)$$

$$D_{\text{out},r} = -\epsilon_0 \left. \frac{\partial V_{\text{out}}}{\partial r} \right|_{r=R} = -\frac{q}{4\pi} \left( \sum_{l=0}^{\infty} \frac{l R^{l-1}}{a^{l+1}} - (l+1) \frac{B_l}{R^{l+2}} \right) P_l(\cos \theta). \quad (123)$$

Pela continuidade do deslocamento elétrico perpendicular à superfície, teremos

$$D_{\text{in},r} = D_{\text{out},r} \quad (124)$$

$$-\epsilon \sum_{l=0}^{\infty} l A_l R^{l-1} P_l(\cos \theta) = -\frac{q}{4\pi} \left( \sum_{l=0}^{\infty} \frac{l R^{l-1}}{a^{l+1}} - (l+1) \frac{B_l}{R^{l+2}} \right) P_l(\cos \theta) \quad (125)$$

$$-\epsilon l A_l R^{l-1} = -\frac{q}{4\pi} \left( \frac{l R^{l-1}}{a^{l+1}} - (l+1) \frac{B_l}{R^{l+2}} \right) \quad (126)$$

$$A_l = \frac{q}{4\pi\epsilon} \left( \frac{1}{a^{l+1}} - \frac{(l+1)}{l} \frac{B_l}{R^{2l+1}} \right). \quad (127)$$

Já estamos com a faca e o queijo na mão, só resta resolver para  $A_l$  e  $B_l$ :

$$\frac{q}{4\pi\epsilon_0} \left( \frac{1}{a^{l+1}} + \frac{B_l}{R^{2l+1}} \right) = \frac{q}{4\pi\epsilon} \left( \frac{1}{a^{l+1}} - \frac{(l+1)}{l} \frac{B_l}{R^{2l+1}} \right) \quad (128)$$

$$\frac{1}{a^{l+1}} + \frac{B_l}{R^{2l+1}} = \frac{\epsilon_0}{\epsilon} \left( \frac{1}{a^{l+1}} - \frac{(l+1)}{l} \frac{B_l}{R^{2l+1}} \right) \quad (129)$$

$$\frac{B_l}{R^{2l+1}} + \frac{\epsilon_0}{\epsilon} \frac{(l+1)}{l} \frac{B_l}{R^{2l+1}} = \frac{\epsilon_0}{\epsilon} \left( \frac{1}{a^{l+1}} \right) - \frac{1}{a^{l+1}} \quad (130)$$

$$\frac{B_l}{R^{2l+1}} \left( 1 + \frac{\epsilon_0}{\epsilon} \frac{(l+1)}{l} \right) = \frac{1}{a^{l+1}} \left( \frac{\epsilon_0}{\epsilon} - 1 \right) \quad (131)$$

$$B_l = \frac{R^{2l+1}}{a^{l+1}} \frac{\left( \frac{\epsilon_0}{\epsilon} - 1 \right)}{\left( 1 + \frac{\epsilon_0}{\epsilon} \frac{(l+1)}{l} \right)}. \quad (132)$$

Substituindo para  $A_l$ , teremos que

$$A_l = \frac{q}{4\pi\epsilon_0} \left( \frac{1}{a^{l+1}} + \frac{1}{R^{2l+1}} \frac{R^{2l+1}}{a^{l+1}} \frac{\left( \frac{\epsilon_0}{\epsilon} - 1 \right)}{\left( 1 + \frac{\epsilon_0}{\epsilon} \frac{(l+1)}{l} \right)} \right) \quad (133)$$

$$= \frac{q}{4\pi\epsilon_0} \frac{1}{a^{l+1}} \left( 1 + \frac{\left( \frac{\epsilon_0}{\epsilon} - 1 \right)}{\left( 1 + \frac{\epsilon_0}{\epsilon} \frac{(l+1)}{l} \right)} \right) \quad (134)$$

$$= \frac{q}{4\pi\epsilon_0} \frac{1}{a^{l+1}} \left( 1 + \frac{l \left( \frac{\epsilon_0}{\epsilon} - 1 \right)}{\left( l + \frac{\epsilon_0}{\epsilon} (l+1) \right)} \right) \quad (135)$$

$$= \frac{q}{4\pi\epsilon_0} \frac{1}{a^{l+1}} \left( \frac{\left( l + \frac{\epsilon_0}{\epsilon} (l+1) \right) + l \left( \frac{\epsilon_0}{\epsilon} - 1 \right)}{\left( l + \frac{\epsilon_0}{\epsilon} (l+1) \right)} \right) \quad (136)$$

$$= \frac{q}{4\pi\epsilon_0} \frac{1}{a^{l+1}} \left( \frac{2 \frac{\epsilon_0}{\epsilon} l + \frac{\epsilon_0}{\epsilon}}{\left( l + \frac{\epsilon_0}{\epsilon} (l+1) \right)} \right) \quad (137)$$

$$= \frac{q}{4\pi\epsilon} \frac{1}{a^{l+1}} \left( \frac{2l+1}{\left( l + \frac{\epsilon_0}{\epsilon} (l+1) \right)} \right). \quad (138)$$

$$(139)$$

Desta forma, concluímos nossa expressão final para o potencial, onde temos que

$$V_{\text{in}}(r, \theta) = \frac{q}{4\pi\epsilon} \frac{1}{a} \sum_{l=0}^{\infty} \left( \frac{2l+1}{(l + \frac{\epsilon_0}{\epsilon}(l+1))} \right) \left( \frac{r}{a} \right)^l P_l(\cos \theta), \quad (140)$$

e

$$V_{\text{out}}(r, \theta) = \frac{q}{4\pi\epsilon_0} \left( \sum_{l=0}^{\infty} \frac{r_{>}^l}{r_{>}^{l+1}} + \frac{l(\frac{\epsilon_0}{\epsilon} - 1)}{(l + \frac{\epsilon_0}{\epsilon}(l+1))} \frac{R^{2l+1}}{(ar)^{l+1}} \right) P_l(\cos \theta). \quad (141)$$

Caso coloquemos  $\epsilon = \epsilon_0$ , ou seja, assumindo a esfera como “vácuo”, teremos

$$V_{\text{in}}(r, \theta) = \frac{q}{4\pi\epsilon_0} \frac{1}{a} \sum_{l=0}^{\infty} \left( \frac{r}{a} \right)^l P_l(\cos \theta) = \frac{q}{4\pi\epsilon_0} \sum_{l=0}^{\infty} \frac{r^l}{a^{l+1}} P_l(\cos \theta), \quad (142)$$

e

$$V_{\text{out}}(r, \theta) = \frac{q}{4\pi\epsilon_0} \sum_{l=0}^{\infty} \frac{r_{>}^l}{r_{>}^{l+1}} P_l(\cos \theta). \quad (143)$$

Ora, mas isto é justamente o potencial de uma carga pontual no vácuo, posicionada no eixo  $z$ , em  $z = a$ , que confirma nosso resultado, *“with striking fashion”*. ■

### 13 Cascas esféricas meio preenchidas com dielétrico (complicado e incompleto)

Vamos considerar o dielétrico no hemisfério inferior, e o vácuo no superior, de maneira a preservar a simetria azimutal. A esfera interior tem carga  $Q$ , e a exterior tem sua carga igual a  $-Q$ .

Entre as duas esferas, teremos o potencial descrito pela equação de Laplace ordinária, representada por

$$V_{\text{in}}(r, \theta) = \sum_{l=0}^{\infty} \left( A_l r^l + \frac{B_l}{r^{l+1}} \right) P_l(\cos \theta). \quad (144)$$

Fora da esfera, teremos a mesma equação, porém, com os coeficientes que acompanham  $r^l$  serão todos nulos, pois o potencial deverá ir a zero à medida que nos afastemos das cargas. Ou seja,

$$V_{\text{out}}(r, \theta) = \sum_{l=0}^{\infty} \frac{C_l}{r^{l+1}} P_l(\cos \theta). \quad (145)$$

Vamos para as condições de contorno. Calculando o campo elétrico tangente à superfície, teremos

$$E_{\text{in},\theta} = -\frac{1}{r} \frac{\partial V_{\text{in}}}{\partial \theta} \Big|_{r=b} = \sum_{l=0}^{\infty} \left( A_l b^{l-1} + \frac{B_l}{b^{l+2}} \right) \frac{dP_l(\cos \theta)}{d\theta} \sin \theta \quad (146)$$

$$E_{\text{out},\theta} = -\frac{1}{r} \frac{\partial V_{\text{out}}}{\partial \theta} \Big|_{r=b} = \sum_{l=0}^{\infty} \frac{C_l}{b^{l+2}} \frac{dP_l(\cos \theta)}{d\theta} \sin \theta. \quad (147)$$

Aplicando a continuidade do campo tangencial:

$$E_{\text{in},\theta} = E_{\text{out},\theta} \quad (148)$$

$$\sum_{l=0}^{\infty} \left( A_l b^{l-1} + \frac{B_l}{b^{l+2}} \right) \frac{dP_l(\cos \theta)}{d\theta} \sin \theta = \sum_{l=0}^{\infty} \frac{C_l}{b^{l+2}} \frac{dP_l(\cos \theta)}{d\theta} \sin \theta \quad (149)$$

$$A_l b^{l-1} + \frac{B_l}{b^{l+2}} = \frac{C_l}{b^{l+2}} \quad (150)$$

$$A_l b^{2l+1} + B_l = C_l. \quad (151)$$

O deslocamento elétrico perpendicular à superfície será:

$$D_{\text{in},r} = -\epsilon_0 \frac{\partial V_{\text{in}}}{\partial r} \Big|_{r=b} = -\epsilon_0 \sum_{l=0}^{\infty} \left( l A_l b^{l-1} - (l+1) \frac{B_l}{b^{l+2}} \right) P_l(\cos \theta), 0 < \theta < \frac{\pi}{2} \quad (152)$$

$$D_{\text{in},r} = -\epsilon \frac{\partial V_{\text{in}}}{\partial r} \Big|_{r=b} = -\epsilon \sum_{l=0}^{\infty} \left( l A_l b^{l-1} - (l+1) \frac{B_l}{b^{l+2}} \right) P_l(\cos \theta), \frac{\pi}{2} < \theta < \pi \quad (153)$$

$$D_{\text{out},r} = -\epsilon_0 \frac{\partial V_{\text{in}}}{\partial r} \Big|_{r=b} = \epsilon_0 \sum_{l=0}^{\infty} (l+1) \frac{C_l}{b^{l+2}} P_l(\cos \theta). \quad (154)$$

Como temos uma carga distribuída uniformemente na superfície,  $\sigma_f = Q/4\pi b^2$ .

Isso tá ficando muito complicado, melhor deixar pra lá.

## 14 Esfera dielétrica submetida a um campo uniforme

Vamos considerar uma esfera dielétrica, e um campo uniforme na direção  $z$ . Temos que, para pontos muito distantes de  $r = R$ ,  $\vec{E}(r \gg R) = E_0 \hat{z}$ , e o potencial será  $V(r \gg R) = -E_0 z = -E_0 r \cos \theta$ . Assim,

$$V_{\text{out}}(r, \theta) = -E_0 r \cos \theta + \sum_{l=0}^{\infty} \frac{B_l}{r^{l+1}} P_l(\cos \theta), \quad (155)$$

e

$$V_{\text{in}}(r, \theta) = \sum_{l=0}^{\infty} A_l r^l P_l(\cos \theta). \quad (156)$$

O deslocamento elétrico perpendicular à superfície será

$$D_{\text{in},r} = -\epsilon \frac{\partial V_{\text{in}}}{\partial r} \Big|_{r=b} = -\epsilon \sum_{l=0}^{\infty} l A_l b^{l-1} P_l(\cos \theta) \quad (157)$$

$$D_{\text{out},r} = -\epsilon_0 \frac{\partial V_{\text{in}}}{\partial r} \Big|_{r=b} = \epsilon_0 \left( E_0 \cos \theta + \sum_{l=0}^{\infty} (l+1) \frac{B_l}{b^{l+2}} P_l(\cos \theta) \right). \quad (158)$$

Como não existem cargas livres no nosso problema, o deslocamento elétrico será contínuo:

$$D_{\text{in},r} = D_{\text{out},r} \quad (159)$$

$$-\epsilon \sum_{l=0}^{\infty} l A_l b^{l-1} P_l(\cos \theta) = \epsilon_0 \left( E_0 \cos \theta + \sum_{l=0}^{\infty} (l+1) \frac{B_l}{b^{l+2}} P_l(\cos \theta) \right), \quad (160)$$

$$(161)$$

que nos leva a

$$-\epsilon A_1 = \epsilon_0 E_0 + 2\epsilon_0 \frac{B_1}{b^3}, \quad (162)$$

$$-\epsilon l A_l b^{l-1} = \epsilon_0 (l+1) \frac{B_l}{b^{l+2}}. \quad (163)$$

Precisamos agora encontrar uma outra relação entre os coeficientes para determiná-los.

Vamos calcular as componentes tangenciais do campo elétrico

$$E_{\text{in},\theta} = -\frac{1}{r} \frac{\partial V_{\text{in}}}{\partial \theta} \Big|_{r=b} = -\sum_{l=0}^{\infty} A_l b^{l-1} \frac{dP_l(\cos \theta)}{d(\cos \theta)} \sin \theta \quad (164)$$

$$E_{\text{out},\theta} = -\frac{1}{r} \frac{\partial V_{\text{out}}}{\partial \theta} \Big|_{r=b} = E_0 \sin \theta - \sum_{l=0}^{\infty} \frac{B_l}{b^{l+2}} \frac{dP_l(\cos \theta)}{d(\cos \theta)} \sin \theta. \quad (165)$$

Pela continuidade da componente tangencial do campo elétrico,

$$E_{\text{in},\theta} = E_{\text{out},\theta} \quad (166)$$

$$\sum_{l=0}^{\infty} A_l b^{l-1} \frac{dP_l(\cos \theta)}{d(\cos \theta)} \sin \theta = E_0 \sin \theta + \sum_{l=0}^{\infty} \frac{B_l}{b^{l+2}} \frac{dP_l(\cos \theta)}{d(\cos \theta)} \sin \theta, \quad (167)$$

nos levando a

$$A_1 = -E_0 + \frac{B_1}{b^3}, \quad (168)$$

$$A_l b^{l-1} = \frac{B_l}{b^{l+2}} \implies A_l = \frac{B_l}{b^{2l+1}}. \quad (169)$$

Juntando as condições para  $B_l$  e  $A_l$  gerais, temos que

$$-\epsilon l \frac{B_l}{b^{l+1}} b^{l-1} = \epsilon_0(l+1) \frac{B_l}{b^{l+2}} \quad (170)$$

$$B_l (-\epsilon l b^{l-1} - \epsilon_0(l+1)) = 0, l \neq 1. \quad (171)$$

$$(172)$$

Logo,  $B_l$  deve ser zero para todo  $l \neq 1$ . Para  $l = 1$ :

$$\epsilon \frac{B_1}{b^3} + 2\epsilon_0 \frac{B_1}{b^3} = \epsilon E_0 - \epsilon_0 E_0, \quad (173)$$

$$B_1 = b^3 E_0 \frac{\epsilon - \epsilon_0}{\epsilon + 2\epsilon_0} \quad (174)$$

$$A_1 = -E_0 + \frac{b^3 E_0 \frac{\epsilon - \epsilon_0}{\epsilon + 2\epsilon_0}}{b^3} \quad (175)$$

$$= -E_0 + E_0 \frac{\epsilon - \epsilon_0}{\epsilon + 2\epsilon_0} \quad (176)$$

$$= E_0 \left( \frac{\epsilon - \epsilon_0 - \epsilon + 2\epsilon_0}{\epsilon + 2\epsilon_0} \right) \quad (177)$$

$$= E_0 \left( \frac{-3\epsilon_0}{\epsilon + 2\epsilon_0} \right). \quad (178)$$

O potencial dentro da esfera será

$$V_{\text{in}}(r, \theta) = -E_0 \left( \frac{3\epsilon_0}{\epsilon + 2\epsilon_0} \right) r \cos \theta = -E_0 \left( \frac{3\epsilon_0}{\epsilon + 2\epsilon_0} \right) z, \quad (179)$$

e o campo será

$$E_{\text{in}} = E_0 \left( \frac{3\epsilon_0}{\epsilon + 2\epsilon_0} \right). \quad (180)$$

Teremos então um campo uniforme dentro da esfera.

## 15 Esfera dielétrica com polarização uniforme

Vamos considerar agora uma esfera dielétrica, apresentando uma polarização uniforme. Por questões de preservação da simetria azimutal, consideremos a polarização paralela ao eixo  $z$ , ou seja,  $\vec{P} = P_0 \hat{z}$ .

Começemos escrevendo as densidades volumétrica e superficial de cargas ligadas:

$$\rho_b = -\nabla \cdot \vec{P} = 0, \quad (181)$$

$$\sigma_b = \vec{P} \cdot \hat{n} = P \cos \theta. \quad (182)$$

Ora, o que nos resta agora é encontrar o potencial produzido por uma densidade superficial de cargas análoga, numa esfera de raio  $R$ .

A solução da equação de Laplace nos dá

$$V_{\text{in}} = \sum \quad (183)$$

$$\frac{1}{4\pi\epsilon_0} \int \frac{\sigma_b}{\nabla} da' \quad (184)$$

## 16 Esfera dielétrica com carga pontual na origem

## 17 Esfera dielétrica com dipolo simples na origem